

# بررسی عملکرد الگوریتم M8 در پیش‌بینی زلزله‌های بزرگ با خطر فلات ایران

مسعود مجروب<sup>۱\*</sup>، حسین عماریان<sup>۲</sup>، مهدی زارع<sup>۳</sup> و ولادیمیر کوسوبوکو<sup>۴</sup>

<sup>۱</sup> دکتر، دانشکده مهندسی معدن، دانشگاه تهران، تهران، ایران

<sup>۲</sup> استاد، دانشکده مهندسی معدن، دانشگاه تهران، تهران، ایران

<sup>۳</sup> دانشیار، پژوهشگاه بین‌المللی زلزله‌شناسی و مهندسی زلزله، تهران، ایران

<sup>۴</sup> استاد، مؤسسه بین‌المللی پیش‌بینی زلزله و ژئوفیزیک ریاضی، مسکو، روسیه

تاریخ پذیرش: ۱۳۹۱/۰۶/۱۹ تاریخ دریافت: ۱۳۹۰/۱۱/۰۳

## چکیده

زلزله مورخ ۲۰۱۱/۱۰/۲۳ ترکی در نزدیکی شهر وان با حدود ۶۰۰ کشته، باعث خسارات زیادی در شهرهای ارجیش، وان، مرادیه و چالدران شد. مطالعه زلزله‌های دستگاهی سده بیست و تاریخی منطقه نشان داد که منطقه خاور صفحه آناتولی و شمال با خطر فلات ایران لرزه‌خیز بود و مهم‌ترین زلزله اخیر منطقه در سال نوامبر ۱۹۷۶ و در چالدران رخ داده است. در این مقاله مسئله پیش‌بینی زلزله در محدوده با خطر فلات ایران و به صورت بازنگرانه مورد بررسی قرار گرفته است. روش‌های پیش‌بینی زلزله به طور عمده به دو شاخه پیش‌نماگری و استفاده از الگوریتم‌های شناسایی الگو تقسیم می‌شوند. در این مطالعه از روش الگوریتم M8 که بر پایه شناسایی الگو کار می‌کند استفاده شده است. بدین منظور یک شبکه با ۴۹ نقطه در محدوده مورد مطالعه طراحی شد. الگوریتم M8 برای نقاط شبکه اجرا شد و چهار منطقه نزدیک به هم که دارای همپوشانی نیز بودند، به عنوان محدوده‌های هشدار معرفی شدند. این مطالعه نشان داد که زلزله اخیر وان با پنجه زمانی ۲۸۱ کیلومتر و برای بزرگ‌گای بیشتر از ۷ قabilت هشدار پیش از رخداد را داشته است. همچنین کاربرد پیش‌رو الگوریتم نشان داد که از ۲۰۱۱/۷/۳۰ تا ۲۰۱۲/۱۲/۳۰، پنجه مکانی به شعاع ۲۰۰۸/۱/۱ گرفت که الگوریتم‌های مبتنی بر شناسایی الگو نقش مهمی را در کاهش خسارات جانی و مالی در رخدادهای لرزه‌ای بازی می‌کنند.

**کلیدواژه‌ها:** پیش‌بینی زلزله، فلات ایران- آناتولی خاوری، شناسایی الگو، الگوریتم M8، زمان افزایش احتمال رخداد.

E-mail: mmajarab@ut.ac.ir

\*نویسنده مسئول: مسعود مجروب

## ۱- پیش‌گفتار

زلزله تنها عامل بروز خسارات جانی و مالی طبیعی نیست، ولی ۶ زلزله مخرب رخ داده در جهان، در میان ۲۰ مخاطره طبیعی و مخرب دنیا در قرن ۲۰ بوده‌اند. این زلزله‌ها، جمعاً ۳۵٪ از زیان‌های اقتصادی را به خود اختصاص می‌دهند. همچنین زیان‌های ناشی از سیل ۳۰٪ و توفان‌ها ۲۸٪ بوده است. ۷٪ باقیمانده مربوط به دیگر مخاطرات است (CAT-i Service, 2000).

زمین‌لرزه اول آبان ۱۳۹۰ و در ترکیه با بزرگ‌گای گشتاوری ۷/۳ بهانه‌ای برای مطالعه و به کارگیری الگوریتم‌های پیش‌بینی زمین‌لرزه در با خطر فلات ایران و آناتولی خاوری شد. این زمین‌لرزه باعث کشته شدن بیش از ۶۰۰ نفر و همچنین باعث خرابی در شهرهای اوان، ارجیش، مرادیه و چالدران شد (Zare et al., 2011). ژرفای اولیه حدود ۸ کیلومتر برآورد شد (USGS, 2011). شهرهای دیاربکر، آگری و ارومیه در ترکیه و شهرهای سیه‌چشم، خوی و ماکو در ایران به شدت این زلزله را احساس کردند (Emre et al., 2011). این زلزله حاصل عملکرد گسل وان با طول ۴۰ کیلومتر و شبیه به سمت شمال بوده است (شکل ۱). با نگاهی به پراکنده‌گی زلزله‌ها چنین دریافت می‌شود، بیشتر زلزله‌ها در روند شمال خاوری - جنوب با خطری و به صورت خوش‌های نامنظم رخ داده‌اند. مهم‌ترین زلزله سده اخیر در این پهنه لرزه‌خیز در ۳۵ سال پیش و در نزدیکی چالدران در ۲۴ نوامبر ۱۹۷۶ با بزرگ‌گای ۷/۱ روى داد که باعث کشته شدن بیش از ۵۰۰۰ نفر شد (Gulkcan et al., 1978). جدول ۱ آمار لرزه‌خیزی تاریخی خاور آناتولی را نشان می‌دهد. در محدوده شهر وان در سال‌های ۱۹۴۵ و ۱۹۷۷ به ترتیب زلزله‌هایی با بزرگ‌گای ۴/۸ و ۴/۹ رخ داده است. همچنین زلزله‌های مهم سلماس با بزرگ‌گای ۷/۲ در سال ۱۹۳۰ و چالدران با بزرگ‌گای ۷/۱ در سال ۱۹۷۶ از رویدادهای تاریخی و مخرب مهم منطقه بوده است.

با مطالعه و بررسی لرزه‌خیزی منطقه آناتولی خاوری به این نتیجه می‌رسیم که این منطقه پتانسیل تولید زلزله بالای ۷ را داشته است. بدین ترتیب این پژوهش قصد دارد تا با به کارگیری الگوریتم M8 که روши است مبتنی بر روش‌های شناسایی الگو به

مسئله پیش‌بینی زلزله در آینده و با نگرش ویژه بر زلزله وان پردازد. زمانی می‌توان گفت زلزله‌ای پیش‌بینی می‌شود که از نظر زمانی، بزرگ‌گای و مکان زلزله را پیش‌بینی کرده باشیم (Allen et al., 1976).

مطالعه بر روی الگوریتم‌ها و روش‌های پیش‌بینی با روش‌های شناسایی الگو منجر به ارائه روش‌های تشخیص الگوی لرزه‌خیزی و برآورد زلزله بعدی در یک پنجه زمانی، مکانی و بزرگ‌گای شده است. یکی از مهم‌ترین تقسیم‌بندی‌های ارائه شده در رابطه با طبقه‌بندی زمانی و مکانی پیش‌بینی در جدول ۲ ارائه شده است.

## ۲- روش‌شناسی الگوریتم M8

ریاضیدانان و ژئوفیزیکدانان مؤسسه بین‌المللی پیش‌بینی زلزله و ژئوفیزیک ریاضی مسکو، یک روش کاربردی که بر پایه روش‌های شناسایی الگو استوار است، ارائه کرده‌اند. (Kossobokov & Keilis-Borok, 1986) روش M8 را که توانسته است چندین زلزله مهم دنیا را پیش‌بینی کند، ارائه کرده‌اند. همچنین این روش در انجمن پیش‌بینی زلزله امریکا ارائه شد و توسط سازمان زمین‌شناسی آمریکا نیز با موفقیت ارزیابی شد (Kossobokov, 1997; Peresan et al., 2005).

روش M8 برای پیش‌بینی زمین‌لرزه‌های با بزرگ‌گای ۸ طراحی شد و به همین دلیل به این نام معروف شد. نسخه اولیه آن (Keilis-Borok & Kossobokov, 1984) و نسخه اصلی آن (Keilis-Borok & Kossobokov, 1987) در ۱۴۳ نقطعه مربوط آزمایش قرار گرفت که از این تعداد ۱۳۲ نقطعه مربوط به رومرک زمین‌لرزه‌های با بزرگ‌گای +۸ بین سال‌های ۱۸۵۷ تا ۱۹۸۳ بود. از سال ۱۹۸۶ الگوریتم M8 با عملکرد بازنگرانه برای زلزله‌های ۶/۵ نیز به کار گرفته شد (Kossobokov, 1986).

الگوریتم M8، برپایه الگوی فیزیکی ساده‌های از پیش‌بینی، پایه گذاری شده است. هدف این الگوریتم، پیش‌بینی زمین‌لرزه‌هایی با بزرگ‌گای M<sub>0</sub> یا بزرگ‌گای تر است. برای این منظور، گستره زمین‌لرزه‌ای مورد مطالعه توسط مجموعه دایره‌های همپوشانی با

CAT20 ، CAT20a ، CAT10a ، CAT20a ، CAT10 کاتالوگ‌های اصلی الگوریتم M8 هستند. برای هر دایره بررسی ۲ مجموعه کاتالوگ لرزه‌ای از زلزله‌های اصلی تهیه می‌شود. در ادامه شروط کامل بودن این دو کاتالوگ بررسی می‌شود (Kossobokov, 1997).

CAT20: حد پایینی بزرگ‌آمیخته انتخاب می‌شود که به طور میانگین ۲۰ زلزله در سال در کاتالوگ موجود باشد. به عبارتی برای آنالیز ۳۰ سال الگوریتم باید بزرگ‌آمیخته شود که ۶۰۰ زلزله را در کاتالوگ لرزه‌خیز تأمین کند. بنابراین اگر در دایره بررسی برای هر سال کمتر از ۲۰ زلزله موجود بود، برای ادامه کار باید تصمیم گیری کرد که آیا می‌توان ادامه کار داد یا نه. در هر صورت شمار زلزله‌ها نباید از ۱۶ عدد در سال کمتر شود (Kossobokov, 1997).

CAT10: انتخاب حد پایینی بزرگ‌آمیخته است که به طور متوسط ۱۰ رویداد در هر سال در کاتالوگ لرزه‌خیز موجود باشد. این دو جمعیت لرزه‌ای برای هر دایره بررسی CI محاسبه می‌شوند. نهایتاً این امکان وجود دارد که با تغییر سطح لرزه‌خیزی برای هر دایره بررسی بزرگ‌آمیخته نیز تغییر کند (Kossobokov, 1997).

تابع برای هر ۶ ماه محاسبه می‌شوند به طوری که زمان انتها برای برابر است با  $t_i = t_0 + (i \text{ half-years})$ . حال اگر  $X_i$  برابر با تعداد زلزله‌ها در ۶ ماه در نظر گرفته شود به طوری که انتها بازه زمانی باشد و همچنین  $Si$  را برابر با  $\sum_{j=1}^{10} M_j$  در جایی که  $M_j$  برابر با بزرگ‌آمیخته اصلی زلزله‌های اصلی از فاصله نیم سال  $\Delta t$  باشد، می‌توان روابط زیر را برای تابع هفتگانه ارائه داد (Kossobokov, 1997).

$$F1(ti) = X_i - 11 + X_i - 10 + \dots + X_i \quad (2)$$

$$F2(ti) = X_i - 11 + X_i - 10 + \dots + X_i \quad (3)$$

$$F3(ti) = F1(ti) - (X_1 + X_2 + \dots + X_{i-11}) \cdot 12/(i-12) \quad (4)$$

$$F4(ti) = F2(ti) - (X_1 + X_2 + \dots + X_{i-11}) \cdot 12/(i-12) \quad (5)$$

$$F5(ti) = (Si_{11} + Si_{10} + \dots + Si) / (X_1 - 11 + X_2 - 10 + \dots + X_{i-11}) \cdot 2/3 \quad (6)$$

$$F6(ti) = (Si_{11} + Si_{10} + \dots + Si) / (X_1 - 11 + X_2 - 10 + \dots + X_{i-11}) \cdot 2/3 \quad (7)$$

$$\text{بزرگ‌آمیخته در سال‌های گذشته} = F7(ti) \quad (8)$$

تابع هفتگانه  $F1(t)$  تا  $F7(t)$  برای اعلام هشدار و یا زمان افزایش احتمال خطر، TIP (Time of increasing probability)، محاسبه می‌شوند. TIP برای زلزله اصلی مورد انتظار که همان بزرگ‌آمیخته  $M$  (یا بالاتر) در یک محدوده بررسی CI است، اعلام خطر می‌کند. تصمیم گیری برای زمان اعلام خطر این است که هرگاه ۶ تابع اول  $F1(t)$  تا  $F6(t)$  بالای ۱۰ درصد مقادیر پیشین خود شدنده به عنوان ناهنجاری معرفی شوند. تابع  $F7(t)$  نیز زمانی به وضعیت بحرانی می‌رسد که مقدار آن به ۲۵ درصد بالای مقادیر تابع پیشین رسیده باشد (Kossobokov, 1997).

زمانی در یک منطقه مورد مطالعه CI می‌توان TIP را اعلام کرد که ۵ عدد از ۶ تابع اول و تابع ۷ در سه سال پیش از زمان بررسی، بی‌نهجاري شان داده باشند و همچنین این حالت در دونیم سال متواتی برقرار باشد. بنابراین یک TIP در دایره مورد بررسی اعلام می‌شود که برابر است با بازه زمانی ۵ سال که زلزله  $M$  (یا بالاتر) در آن رخ می‌دهد. نتایج کاربرد روش M8 در کمربند باخته اقیانوس آرام در بین سال‌های ۱۹۸۵ الی ۱۹۹۷ نشان داد که تمامی ۷ زلزله بزرگ آن پیش‌بینی شدند. فرایند انجام کار به این صورت بود که منطقه با یک رشته دوایر با قطر ۱۳۳۳ کیلومتر (دایره) پوشش داده شد (شکل ۲) (Kossobokov et al., 1999). نتیجه کاربرد این الگوریتم برای زلزله‌های بزرگ عبارت است از توانایی پیش‌بینی ۹۰ تا ۷۰ درصد از زلزله‌های بزرگ که تنها حدود ۱۰ تا ۲۰ درصد از محدوده مورد مطالعه در زون هشدار قرار گرفته است (Keilis-Borok et al., 2001).

### ۳- نتایج کاربرد الگوریتم در پیش‌بینی

نتایج پژوهش‌های انجام شده برای زلزله‌های با بزرگ‌آمیخته ای با طی سال‌های ۱۹۸۵

قطعه D مورد بررسی قرار می‌گیرد. به این ترتیب که برای بررسی هر نقطه ابتدا بر پایه بزرگ‌آمیخته مورد نظر یک شاعع بررسی تعیین می‌شود و پس از آن شروط مربوط به امکان تعزیزی الگوریتم M8 بررسی می‌شود. رابطه تعزیزی زیر برای تعیین محدوده بررسی بزرگ‌آمیخته مورد نظر ارائه شده است (Keilis-Borok & Kossobokov, 1987).

$$R(mo) = 55.5(e^{(mo-5.6)} + 1) \quad (1)$$

اجرای الگوریتم M8 نیاز به نمونه‌برداری منظم از کل منطقه مورد بررسی و استفاده از اشکال هندسی، مثلاً دایره دارد. در درون هر دایره، یک توالی از زمین‌زلزله‌ها که در آن پس‌زلزله‌ها از زمین‌زلزله‌های اصلی حذف شده‌اند، مورد توجه قرار می‌گیرد. پس‌زلزله‌ها باعث تضعیف اثر زمین‌زلزله‌های اصلی با بزرگ‌آمیخته کوچک می‌شوند، به همین دلیل، باید از کاتالوگ زمین‌زلزله‌ها حذف شوند (Kossobokov, 1997).

در روش‌های شناسایی الگو، داده‌ها به یک سری از توابع تبدیل می‌شوند که بخش مهم این تبدیل‌ها عبارتند از میانگین‌گیری در حوزه زمان و مکان. میانگین‌گیری مکانی با استفاده از تمام داده‌های لرزه‌ای محدود مطالعه دوایر بررسی CI و میانگین‌گیری زمانی با جمع کردن مقادیر در یک دوره زمانی گذشته صورت می‌پذیرد. برای آنالیز الگوریتم باید به دو نکته توجه شود یکی فاصله زمانی زلزله‌ها و دیگری بزرگ‌آمیخته آنها. فاصله انتخاب شده برای آنالیز الگوریتم با توجه به کیفیت و کامل بودن کاتالوگ لرزه‌ای تعیین می‌شود. در سال ۱۹۶۰ کیفیت و درجه کامل بودن کاتالوگ لرزه‌ای جهانی با نصب شبکه جهانی لرزه‌ای بهبود یافت. از ۱۹۶۳ زلزله‌های با بزرگ‌آمیخته ۵ و بالاتر تعیین محل شدند. همچنین کاتالوگ لرزه‌خیزی برای زلزله ۴ تا حدودی کامل شد.

(1998) Kossobokov شروع آنالیز الگوریتم M8 را ۱ ژانویه ۱۹۶۳ انتخاب کرد.

اگرچه این زمان در کاتالوگ‌های محلی امکان دارد که زودتر یا دیرتر باشد. یکی از تأثیرگذارترین داده‌های آماری در یک کاتالوگ زمین‌زلزله‌ها پس‌زلزله‌ها هستند. پس‌زلزله‌ها، خوشاهی از زلزله‌های کوچک هستند که در پی یک زلزله بزرگ رخ می‌دهند. وجود پس‌زلزله‌ها در یک کاتالوگ لرزه‌ای باعث کم رنگ شدن اثر زلزله‌های اصلی کوچک در یک آنالیز آماری می‌شوند. بنابراین برای بهتر شدن یک آنالیز آماری باید پس‌زلزله‌ها را از کاتالوگ زمین‌زلزله‌ها حذف کرد. در الگوریتم M8 پس‌زلزله‌ها عبارتند از هر زلزله کوچکی که در پی یک زلزله بزرگ و در زمان و فاصله معین اتفاق افتاده باشد. برای حذف پس‌زلزله‌ها مدل‌های مختلفی ارائه شده است. برای مثال می‌توان به مدل (Keilis-Borok & Soloviev (2002) و Gardner & Knophoff (1974) اشاره کرد.

بنابراین تمام زلزله‌هایی که در زون پس‌لزمای واقع شوند باید از کاتالوگ زمین‌زلزله‌ها حذف شوند. حذف پس‌لزم بین معنی است که در طول گسل‌ها یا پهندهای لرزه‌ای، فرض می‌شود که زمین‌زلزله‌ها به طور تصادفی در مکان و زمان اتفاق می‌افتد. بنابراین زمان رخداد زمین‌زلزله آتی مستقل از زمان سپری شده از رخداد آخرین زمین‌زلزله است. همچنین فرایند زمین‌زلزله‌ها یک فرایند پواسونی است که دارای حافظه نیست. یعنی بزرگ‌آمیخته زمین‌زلزله‌ها در یک پهنه لرزه‌خیز مستقل از یکدیگرند. لازم به یادآوری است که در الگوریتم M8 پس‌لزم زمین‌زلزله‌ها نیز برای تصمیم گیری اعلام پهنه خطر ضروری‌اند. بدین ترتیب کاتالوگ به دو بخش پس‌لزمای و رخدادهای اصلی تقسیم می‌شود.

همانطور که پیش‌تر یاد شد برای شمارش زلزله‌ها باید یک بزرگ‌آمیخته که مجموعه داده‌ها تعريف کرد. بنابراین می‌توان اینگونه نتیجه گرفت که الگوریتم M8 یک حد پهنه مطلق برای اجرای الگوریتم خود در نظر نمی‌گیرد. بر اساس درجه کامل بودن کاتالوگ و همچنین میزان لرزه‌خیزی منطقه مورد مطالعه حد پهنه بزرگ‌آمیخته کاتالوگ و همچنین میزان لرزه‌خیزی منطقه مورد مطالعه حد پهنه دایره‌ای متناسب با بزرگ‌آمیخته مورد نظر رسم شود. طبق این الگوریتم ۵ کاتالوگ‌ها متفاوت برای محاسبه ۷ تابع الگوریتم مورد نیاز است که باید تهیه شود. کاتالوگ‌ها عبارت اند از: CAT20

(McClusky et al., 2000). بر همین اساس نرخ لغزش به دست آمده از GPS برای گسل شمال آناتولی برابر با  $24 \pm 1$  میلی متر در سال است (McClusky et al., 2000). مطالعه و بررسی سازوکار زلزله‌ها در این منطقه نشان می‌دهد که زلزله‌های منطبق بر روند شمال خاوری - جنوب باختり (رونده گسل خاور آناتولی) دارای مؤلفه قوی امتدادگر بوده و هرچه از این روند به سوی زمین درز زاگرس پیش می‌رویم مؤلفه فشاری زلزله‌ها بازتر می‌شود. هر چند در منطقه وان زلزله‌های با سازوکار فشاری رخ داده‌اند که می‌توان آنها را به روندهای خاوری - باختری نسبت داد. زلزله ۲۳ نومبر ۲۰۱۱ و انیز بر پایه بازدید میدانی انجام شده و گزارش مقدماتی تیم بازدید کننده ترک، به گسل فشاری وان با طول تقریبی ۴۰ کیلومتر مربوط می‌شود (Emre et al., 2011).

## ۵- پیش‌بینی زلزله‌های گذشته و آینده در محدوده مطالعاتی

پیش از به کار بردن الگوریتم M8 نیاز است تا کاتالوگ لرزه‌خیزی پنهانه مورد مطالعه بررسی شود. بر این پایه کاتالوگ زلزله‌ها از منبع NEIC استخراج شد. این کاتالوگ ک ۲۰۱۱/۷/۳۰ توسط پروفوسور Kossobokov به روز شده و در اختیار این تیم مطالعاتی قرار گرفته است. کاتالوگ زمین‌لرزه‌ها نشان دهنده فعالیت‌های لرزه‌ای زمین هستند. به همین دلیل مبنای بسیاری از مطالعات پیش‌نstanگری قرار می‌گیرند. پایدار بودن کامل شدگی کاتالوگ در سرتاسر مدت زمان بررسی یکی از نکات مهم و اساسی در پیش‌بینی زلزله است (Peresan et al., 2005). وجود خطای در یک کاتالوگ امری بدینه است. بنابراین در گام نخست باید لغزش‌های یک کاتالوگ حذف شوند. یکی از مهم‌ترین این خطای در یک کاتالوگ، موارد تکراری است که باید از کاتالوگ خارج شوند (Shebalin, 1992). کاتالوگ زلزله‌های پنهانه آناتولی خاوری و باختر ایران از ۴۸ تا ۴۳ طول جغرافیایی و ۳۵ تا ۴۳ عرض جغرافیایی انتخاب شدند. کاتالوگ انتخاب شده برای بزرگای ۴ کامل بوده و قابلیت این را دارد تا در الگوریتم M8 به کار گرفته شوند (شکل ۴). پس از انجام حذف پس لرزه‌ها توسط مدل کاتالوگ در کاتالوگ یادشده، منطقه مورد مطالعه با یک شبکه ۱ درجه‌ای پوشش داده شد. شاعع بررسی با توجه به زلزله ۷/۳ ریشتری روی داده ۲۸۱ کیلومتر و برای بزرگای هدف ۷ ریشتر در نظر گرفته شد. منطقه به ۴۹ نقطه تست الگوریتم تقسیم شد و در هر منطقه الگوریتم M8 مورد آزمایش قرار گرفت. تنها تغییری که در داده‌های ورودی الگوریتم داده شد، تبدیل کاتالوگ‌های ۲۰ و ۱۰ به کاتالوگ‌های ۱۰ و ۵ بود که این عمل در مورد بیشتر زلزله‌های ایران، ترکیه و باختر پاکستان مورد آزمایش قرار گرفته است. همچنین می‌توان در برخی مناطق که لرزه‌خیزی کمتری دارند، این کاتالوگ‌های ورودی را تغییر داد. محاسبات افزون بر دیابی زلزله‌های گذشته برای پیش‌بینی زلزله‌های آینده نیز در این محدوده مورد بررسی انجام شد.

## ۶- بحث و نتیجه‌گیری

تقریباً در تمامی زلزله‌های بزرگ منطقه مورد بررسی و در ۲ تا ۳ سال پیش از رخداد آنها، شاهد موارد زیر هستیم:

افزایش فعالیت لرزه‌ای در محدوده مورد بررسی، تغییرات زمانی قوی در فعالیت‌های لرزه‌ای، خوش‌های شدن پس لرزه‌ها در زمان و مکان، تداوم بازه فعالیت لرزه‌ای، افزایش خوش‌های شدن مکانی چشمهدانهای لرزه‌ای.

ممکن است این نشانه‌ها افزایش پاسخ سنگی کره در اثر تنش‌های زمین ساختی تفسیر شوند. همچنین می‌تواند نشانه حالت بحرانی یک سامانه غیر خطی پیش از یک زلزله بزرگ و یا یک بالای طبیعی بزرگ باشد (Keilis-Borok, 1996).

پس از محاسبه الگوریتم M8 برای نقاط انتخابی، ۴ نقطه به شماره‌های ۱، ۲، ۳ و ۹ در محدوده هشدار قرار گرفت و از زمان ۱۱/۸/۱ تا ۱۲/۳۰ ۲۰۰۸/۱ به مدت ۵ سال، زمان هشدار CTIP معرفی شد. نتایج نقطه شماره ۲ به عنوان نمونه در شکل ۵ ارائه شده است. زلزله در تاریخ ۲۰۱۱/۸/۲۳ و تقریباً در سال پایانی زمان CTIP رخ

الی از ۱۹۹۱/۱۴ زلزله توسط الگوریتم M8 پیش‌بینی شده است. همچنین ۱۲ زلزله پیش‌بینی شده مربوط به بازه زمانی ۱۹۹۲/۱۰/۱۰ تا ۲۰۱۰ بوده است. کاربرد الگوریتم M8 برای پیش‌بینی زلزله‌های بالای ۷/۵ نیز طی سال‌های ۱۹۸۵/۱۰/۱۰ تا ۲۰۱۰ (Kossobokov, 2011).

برخی از نتایج پیش‌بینی‌های موفق توسط الگوریتم M8 به شرح زیر است (Keilis-Borok & Soloviev, 2002).

زمین‌لرزه ۱۹۸۶/۸/۳۰ با بزرگی ۷/۱ در رومانی، زمین‌لرزه ۱۹۹۲ لندرز با بزرگی ۷/۳ در کالیفرنیا، زمین‌لرزه ۱۹۹۳/۸/۸ با بزرگی ۸/۲ در گوام، زمین‌لرزه ۱۹۹۴/۱۰/۴ با بزرگی ۸/۳ شیکوتان ژاپن، زمین‌لرزه ۲۰۰۰/۶/۴ با بزرگی ۸/۳ در جنوب سوماترا، زمین‌لرزه ۱۹۸۵/۹/۱۹ با بزرگی ۸/۱ در مکزیک، زمین‌لرزه ۱۹۸۶/۱۰/۲۰ با بزرگی ۸/۳ کرمادک، زمین‌لرزه ۱۹۹۸/۳/۲۵ با بزرگی ۸/۳ بالانی.

در پیش‌بینی موارد موفق پیش‌بینی، کامل بودن کاتالوگ و تعداد مناسب زمین‌لرزه‌ها در سال نقش مهمی داشته‌اند. از میان موارد ناموفق می‌توان به زمین‌لرزه ۱۹۹۴ بولیوی و ۲۰۱۱ توهو کو ژاپن اشاره کرد. گفتنی است که پیش‌بینی به ظاهر ناموفق زلزله ۲۰۱۱ ژاپن در پنجه مکانی صحیح ولی تنها ۷۰ روز خارج از پنجه زمانی اتفاق افتاده است. دلیل نبود موقیت در زلزله توهو کو پوشش نامناسب سرتاسری ژاپن با دوازده مورد بررسی ادعای شده است. بدین معنی که اگر دوازده در سرتاسر ژاپن و با یک شبکه فشرده تر بررسی می‌شد، این زلزله قابل ردیابی می‌بود. در شکل‌های پیوست مقاله، نمونه‌هایی از پیش‌بینی‌های صورت گرفته ارائه شده است (شکل‌های ۱۱ تا ۱۱).

## ۴- لرزه‌خیزی و زمین ساخت شمال باخته فلات ایران

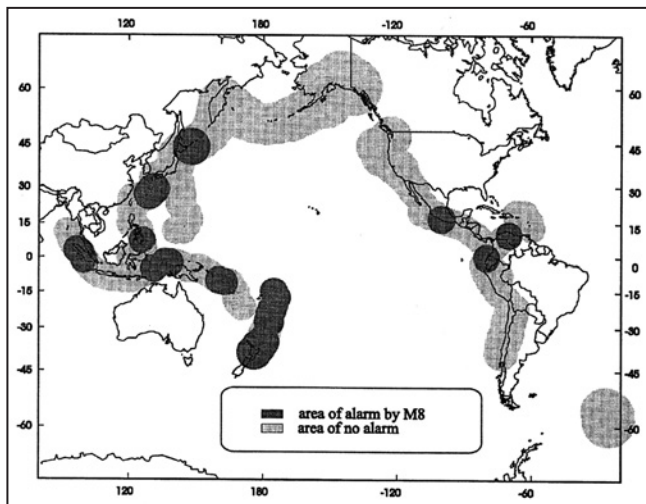
فلات ایران - ترکیه یکی از دو فلات مهم سامانه برخورد آلب - هیمالیا است. این فلات از خاور آناتولی تا خاور ایران گسترده شده است (Sengor et al., 1979; Dewey et al., 1986). ارتفاع متوسط این فلات ۱/۵ تا ۲ کیلومتر است که در خاور ایران به ۵۰۰ متر کاهش می‌یابد. سنگ بستر فلات شامل خردۀ قاره‌هایی است که در کرتاسه و تریلری پیشین به یکدیگر و ورقه اوراسیا متصل شده‌اند (Sengor, 1990). مرز بین صفحه‌ها را افیولیت‌ها و ملانژها پر کرده‌اند. خردۀ‌ها شامل زون سنتنچ - سیرجان، به موازات و در شمال خاور زمین درز زاگرس، بلوك لوت در خاور ایران هستند (Berberian et al., 1982) (شکل ۳).

بخش اعظم ترکیه بر روی صفحه آناتولی قرار گرفته است، صفحه زمین ساخت کوه‌های شکلی که در اثر اعمال نیرو از سمت جنوب توسط صفحه عربستان و از سمت خاور توسط صفحه اوراسیا به سمت باخته در حال حرکت است. صفحه عربی با سرعت ۲۰ میلی‌متر در سال در حال فشرده کردن ایران و صفحه آناتولی است (Allen et al., 2004). صفحه آناتولی از دید لرزه‌خیزی منطقه‌ای فعال است که زلزله‌های تاریخی و دستگاهی متعددی را تجربه کرده است. زمین ساخت حاکم در منطقه، حاصل عملکرد گشلش امتدادگر از گسل آناتولی خاوری و در شمال نتیجه فعالیت پنهانه گسلی شمال آناتولی است. در ناحیه دریاچه وان و مناطق خاوری تر آن، زمین ساخت توسط زمین درز بیتلیس و کمرنده چین و راندگی زاگرس کنترل می‌شود. زمین‌درز راندگی بیتلیس و پنهانه گسلی آناتولی خاوری با پنهانه گسلی شمال آناتولی تشکیل یک پنهانه برخوردی گوهای، گسترده و نامنظم را می‌دهند. این منطقه برخوردی با اختلاف ارتفاع توپوگرافی برابر با ۱۵۰۰ در فلات آناتولی مشخص می‌شود. حرکت به سمت باخته صفحه آناتولی باعث ایجاد لغزش بر روی گسل‌های خاور و شمال آناتولی می‌شود (McKenzie, 1972).

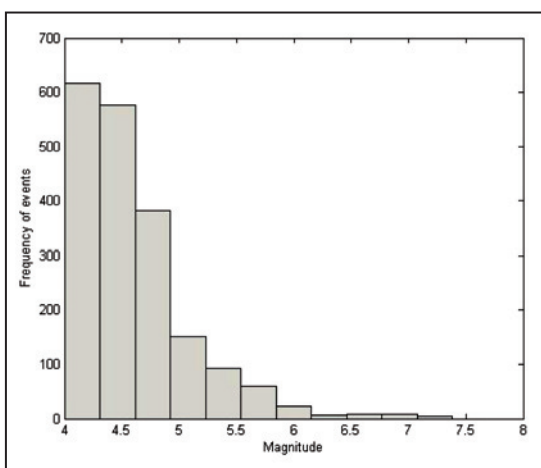
آناتولی باعث ایجاد جنبش بین صفحه عربی و صفحه آناتولی شده است. نرخ لغزش‌های قدیمی مبنی بر گشتاور لرزه‌ای زمین‌لرزه‌ها در طول گسل خاور آناتولی، جابه‌جایی ۱۰-۶ میلی‌متر در سال را شان می‌دهد (Taymaz et al., 1991). همچنین نرخ لغزش به دست آمده از GPS برای با ۹±۱ میلی‌متر در سال است

مکانی میل به خوش شدن بیشتری دارند (Keilis-Borok, 1996). همان‌گونه که در شکل ۷ نشان داده شده است، ۲ پهنه خوش شده در فصل مشترک مناطق هشدار وجود دارد. هر کدام می‌تواند به عنوان مکان زلزله بعدی معرفی شوند. شاید دلیل این مسئله این باشد که مراکز خوش‌ها به علت تعدد زلزله‌ها و آزاد شدن اثری دیگر توان تولید یک زلزله بزرگ را ندارند. در نهایت این طور نتیجه گرفته می‌شود که الگوریتم M8 یکی از معتبرترین و دقیق‌ترین روش‌های پیش‌بینی است که توانست، زلزله مهم و ان ترکیه را پیش‌بینی کند. به این ترتیب باید با به کار گیری این الگوریتم برای فلات ایران، ترکیه و پاکستان برای بزرگ‌گاهات مختلف، مناطق دارای پتانسیل زلزله هدف معرفی شوند.

نکته با اهمیت در این مطالعه کاربرد الگوریتم M8 برای پایش زلزله‌های آینده با توجه به موفقیت پیش‌بینی زلزله اخیر وان است. نتایج محاسبات نشان داد که هیچ محدوده افزایش احتمال رخدادی از زمان اتمام کاتالوگ (۲۰۱۱/۷/۳۰) برای بزرگ‌گای ۷ به مدت ۵ سال به دست نیامد.

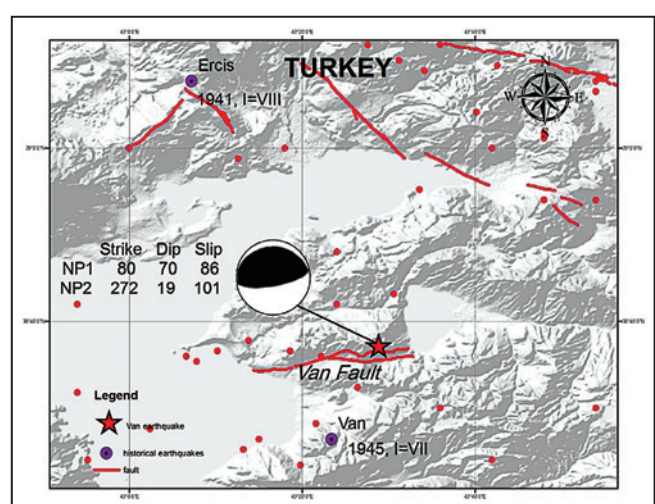


شکل ۲- مجموعه دایر مورد بررسی در کمرنگ لرزه خیز آقیانوس آرام با اندکی تغییرات .(Kossobokov et al., 1999)

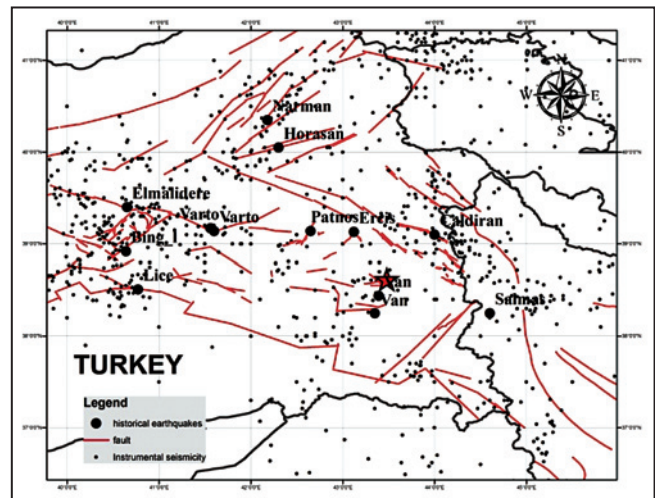


شکل ۴- همان‌گونه که مشخص است کاتالوگ محدوده برای زلزله‌های ۴ به بالا کامل بوده و می‌توان برای اجرای الگوریتم از آن بهره بردا.

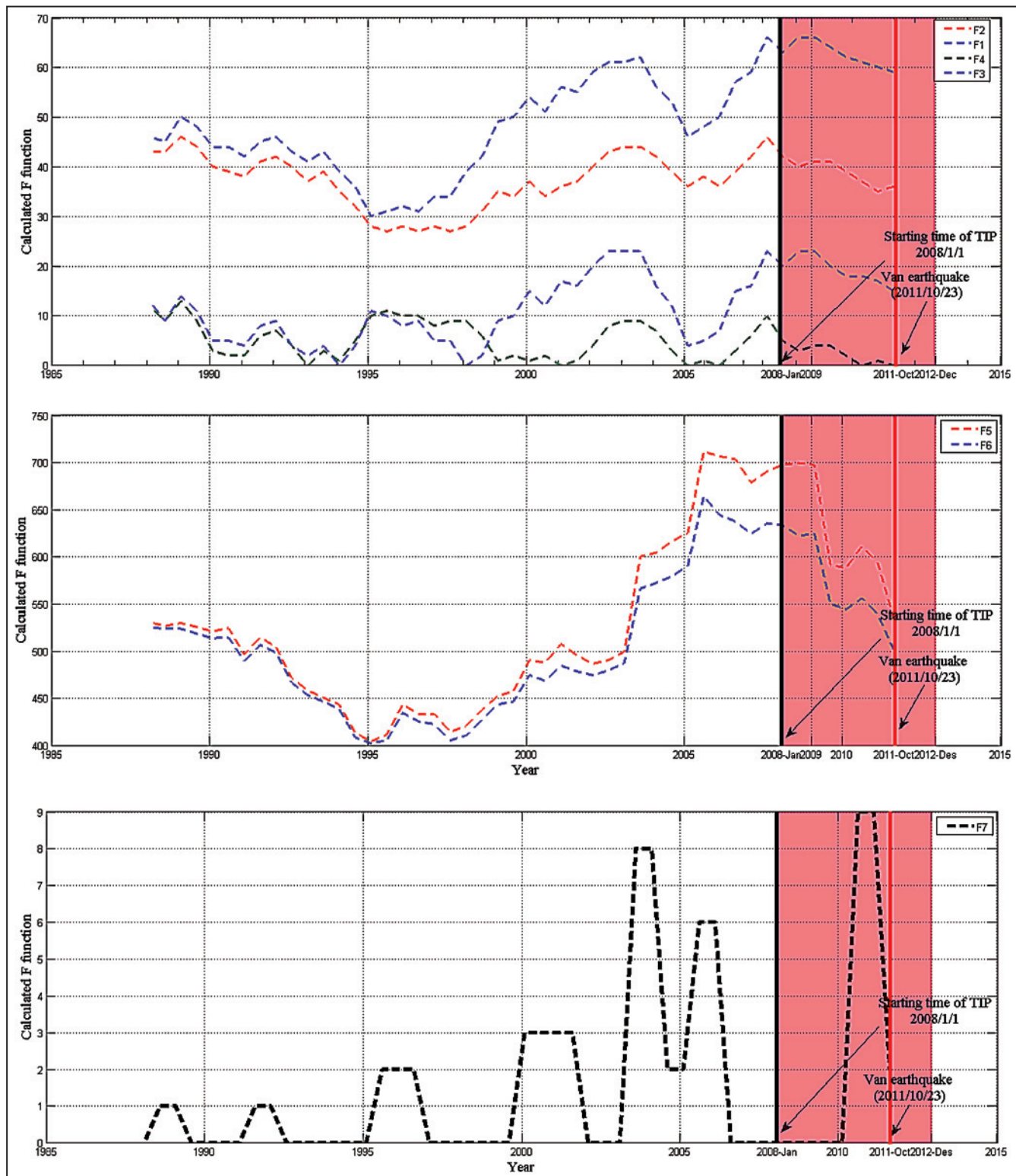
داده است. همان‌گونه که در شکل ۶ نشان داده شده است، نقطه شماره ۳ منطبق بر رو مرکز زلزله ۲۰۱۱/۸/۲۳ وان بوده است. نکته با اهمیت در این بررسی این است که در تمامی ۴۵ نقطه‌ای که در آنها حد آستانه هشدار به وجود نیامد، هشدار اشتباہ FTIP نیز گزارش نشده است. بنابراین، از نقاط قوت این پیش‌بینی بازنگرانه، بود هشدار اشتباہ در نقاط مجاور رویداد و حتی در طول دوره بررسی از سال ۱۹۷۵ تا ۲۰۱۱/۷/۳۰ در نقاطی که CTIP داشتیم، می‌باشد. اجرای الگوریتم M8 در بررسی حاضر سه سوال مهم هر پیش‌بینی زمین‌لرزه (کدام محدوده؟ چه بزرگی؟ و چه زمانی؟) را پاسخ گفت. در این مطالعه بزرگ‌گای ۷ به عنوان بزرگ‌گای هدف انتخاب شد. شعاع رخداد نیز به صورت ۲۸۱ کیلومتر از هر نقطه مورد بررسی تعیین شد که نهایتاً در ۴ منطقه محدوده هشدار مشخص شد. مهم‌ترین بخش در الگوریتم، اعلام زمان رویداد است که عبارت است از ۵ سال از زمان شروع CTIP در تاریخ ۲۰۰۸/۱/۱. روش پیشنهادی برای کاهش پنجره مکانی، استفاده از بسامد رویداد زلزله‌ها و تشکیل خوش‌های لرزه است. هرچه احتمال رویداد یک زلزله بزرگ‌گای پیشتر باشد زلزله‌ها در آن محل از نظر



شکل ۱- رومرب زلزله ۲۰۱۱/۱۰/۲۳ با بزرگ‌گای گشتاوری ۷/۳ و گسل فشاری وان که مسبب زمین‌لرزه بوده است.

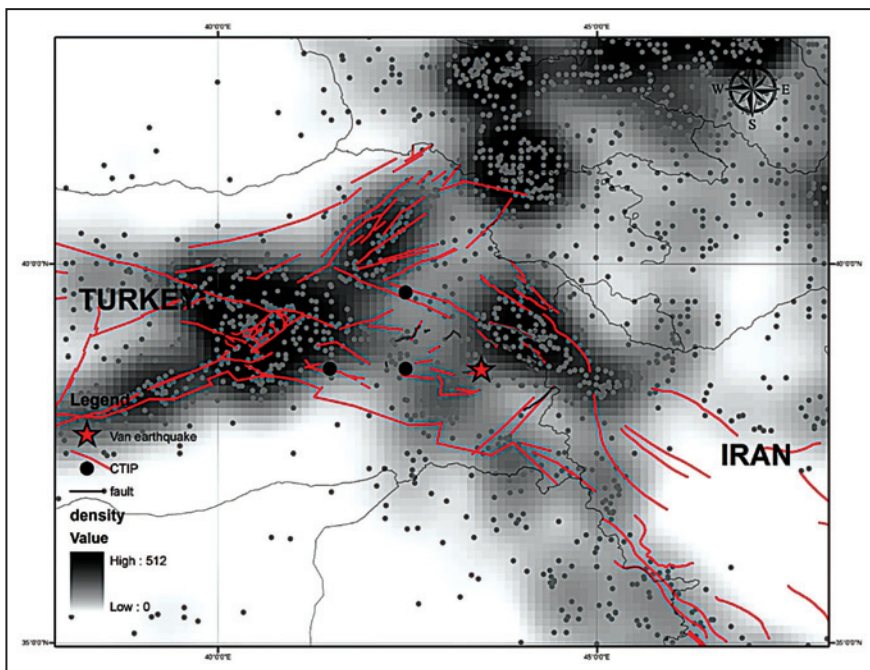
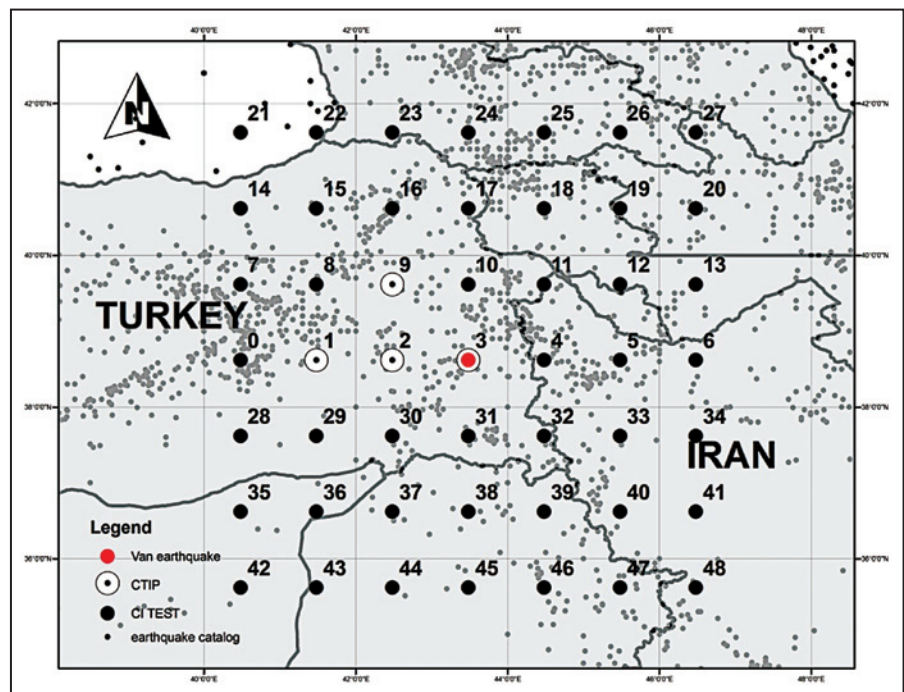


شکل ۳- لرزه‌خیزی منطقه مورد بررسی نشان می‌دهد که زلزله‌ها در محل رخداد زلزله وان حالتی خوش‌های پیدا کرده‌اند. نکته مهم در این نقشه توزیع زمانی زلزله‌ها است که حدود ۲ ماه پیش از زلزله وان به نقشه درآمده‌اند. روند لرزه‌خیزی به صورت عمده از سه روند گسلی زاگرس، آناتولی شمالی و آناتولی خاوری خاوری تبعیت می‌کند. این نقشه با تلفیق داده‌های لرزه‌ای سازمان زمین‌شناسی امریکا (۱۹۹۳) (۲۰۱۱) و گسل‌های پروژه تحلیل خط‌زمین‌لرزه در خاورمیانه (۲۰۱۱) تهییه شده است.



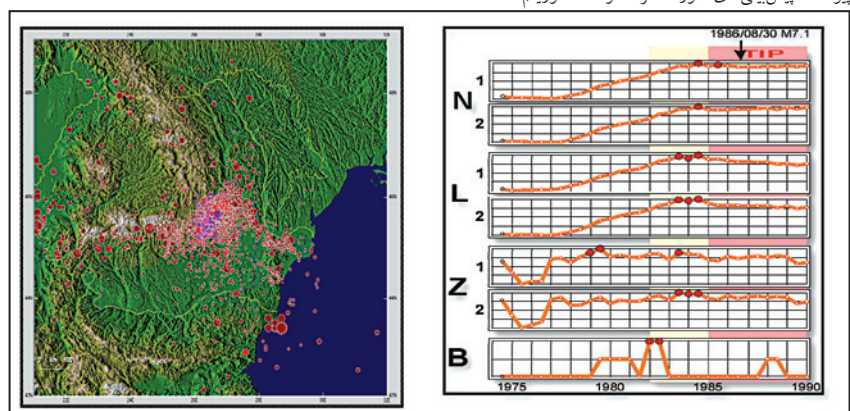
شکل ۵- تغییرات هفتگانه توابع الگوریتم M8 برای نقطه شماره دو نشان دهنده شروع یک پنجه زمانی هشدار است. پنجه زمانی هشدار با مستطیل سرخ رنگ نمایش داده شده است.

شکل ۶- نمایش یک شبکه ۱۰۰ در ۱۰۰ کیلومتری که الگوریتم M8 به مرکزیت نقاط شبکه اجرا شده است. دوایر سفید رنگ (CTIP) نقاطی هستند که زلزله وان به مرکزیت آنها پیش‌بینی شد. برای نقاط زمان شروع ۲۰۰۸، ۳، ۲، ۱ و ۹ زمان شروع CTIP سال ۲۰۰۰ بوده است.

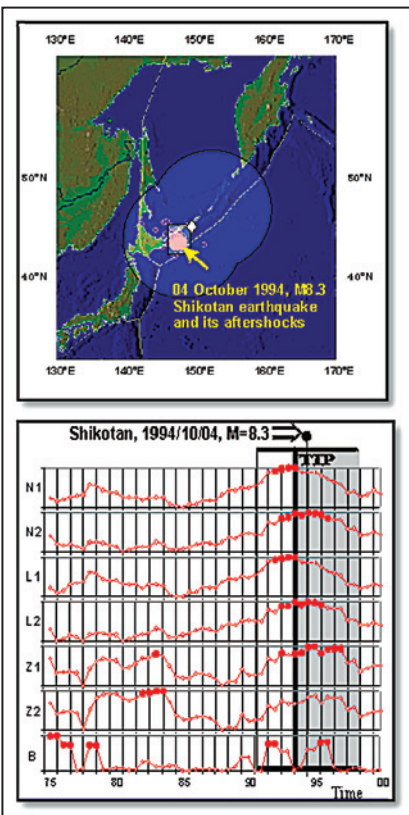


شکل ۷- خوشاهای مکانی زلزله‌ها در محدوده مورد مطالعه. هرچه میزان لرزخی بالا می‌رود رنگ خوشاه تیره‌تر می‌شود. همچنین هر چه از حاشیه‌ها به درون خوشاه پیش می‌رویم آهنگ رویداد بیشتر می‌شود.

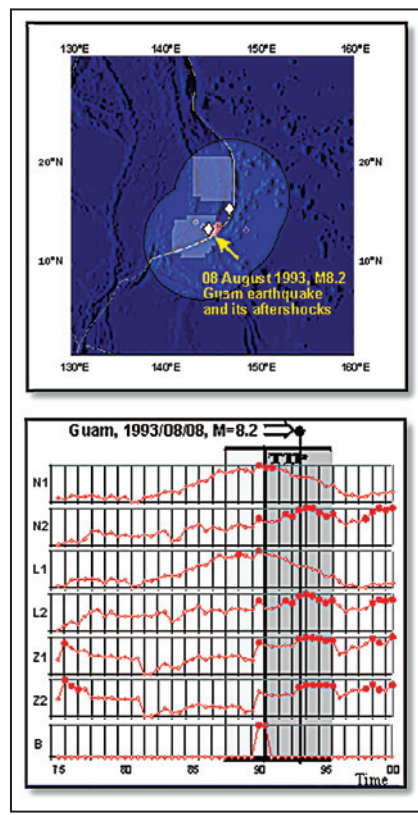
شکل ۸- تعیین زمان افزایش احتمال رخداد در زمان ۱۹۸۵ برای زلزله بالای ۷ در Vrancea رومانی (Keilis-Borok & Soloviev, 2002)



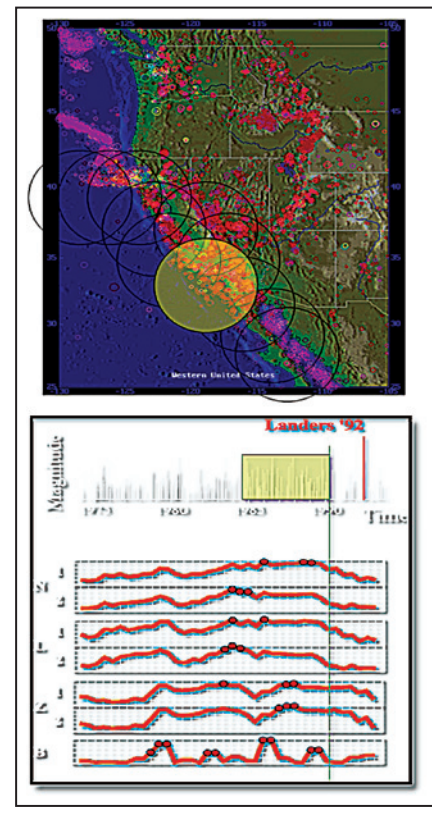
پیوست: پیش‌بینی‌های صورت گرفته توسط الگوریتم M8



شکل ۱۱- نمایش افزایش تواع هفتگانه در زلزله ۱۹۹۴ شیکوتان (Keilis-Borok & Soloviev, 2002).



شکل ۱۰- نمایش افزایش تواع هفتگانه در زلزله ۱۹۹۳ گوام (Keilis-Borok & Soloviev, 2002).



شکل ۹- پیش‌بینی زمین‌لرزه لندرز (Landers) در کالیفرنیا با بزرگای  $Mw = 7/3$ . همان‌گونه که دیده می‌شود شروع زمان TIP برابر است با سال ۱۹۹۰. به هر ترتیب زلزله در سال ۱۹۹۲ به وجود آمده است (Keilis-Borok & Soloviev, 2002).

جدول ۱- زمین‌لرزه‌های تاریخی پهنه خاوری آناتولی (Ambraseys, 1988)

No	Year	Month	Day	Lat	Lon	Ms	Io	Earthquake Name
1	1983	Oct	30	40.35	42.18	6.7	VIII	Narman
2	1976	Nov	24	39.1	44	7.1	IX	Caldiran
3	1975	Sep	6	38.51	40.77	6.6	IX	Lice
4	1972	Jun	16	38.25	43.35	4.9	VIII	Van
5	1971	May	22	38.92	40.64	6.8	IX	Bingöl
6	1966	Aug	19	39.17	41.56	6.8	IX	Varto
7	1959	Oct	25	39.14	41.6	4.9	VIII	Varto
8	1949	Aug	17	39.4	40.65	6.9	IX	Elmalidere
9	1945	Nov	20	38.44	43.39	4.8	VII	Van
10	1941	Sep	10	39.13	43.12	5.9	VIII	Ercis
11	1941	Nov	12	39.85	39.35	5.9	VIII	Erzincan
12	1939	Des	26	39.8	39.38	7.8	XI	Erzincan
13	1930	May	6	38.25	44.6	7.2	X	Salmas
14	1924	Sep	13	40.05	42.3	6.8	IX	Horasan
15	1903	Apr	28	39.14	42.65	7	X	Patnos

زمانی (سالیانه)	مکانی (به اندازه طول چشم)
بلند مدت	بزرگ
متوسط	متوسط
کوتاه مدت	باریک
آنی	دقیق

جدول ۲- طبقه‌بندی زمانی و مکانی پیش‌بینی (Kossobokov et al, 2002)

## References

- Allen, C. R., Edwards, W., Hall, W. J., Knopoff, L., Raleigh, C. B., Savit, C. H., Toksoz, M. N. & Turner, R. H. 1976- Predicting earthquakes: a scientific and technical evaluation- with implications for society. Panel on Earthquake Prediction of the Committee on Seismology, Assembly of Mathematical and Physical Sciences. National Research Council, U.S. National Academy of Sciences, Washington, DC.
- Allen, M., Jackson, J. & Walker, R., 2004- Late Cenozoic reorganization of the Arabia-Eurasia collision and the comparison of short-term and long-term deformation rates. *Tectonics*, Vol. 23, TC2008.
- Ambraseys, N. N., 1988- Engineering Seismology. earthquake engineering and structural dynamics, Vol. 17, 1-105.
- Berberian, F., Muir, I. D., Pankhurst, R. J. & Berberian, M., 1982- Late Cretaceous and early Miocene Andean-type plutonic activity in northern Makran and Central Iran, *J. Geol. Soc. London*, 139, 605 – 614.
- CAT-i Service, 2000- Natural Hazards—Review of the Year 1999. Guy Carpenter and Company. (Available for download at [www.guycarp.com](http://www.guycarp.com)).
- Dewey, J. F., Hempton, M. R., Kidd, W. S. F., Saroglu, F. & Sengor, A. M. C., 1986- Shortening of continental lithosphere: The neotectonics of eastern Anatolia, a young collision zone, in *Collision Tectonics*, edited by M. P. Coward and A. C. Ries, *Geol. Soc. Spec. Publ.*, 19, 3 – 36.
- Emre, Ö., Duman, T. Y., Özalp, S. & Elmaci, H., 2011- A Preliminary Report on Turkey Earthquake of 23 October 2011.
- Gardner, J. K. & Knophoff , L., 1974- Is the sequence of earthquakes in Southern California, with aftershocks removed Poisson, *Bull. Seism. Soc. Am.* 64, 1363-1367.
- Gulkan, P., Gurpinar, A. & Celebi, M., 1978- Engineering Report on the Muradiye-Caldiran, Turkey earthquake 24 Nov 1976.
- Keilis-Borok, V. I. & Soloviev, A. A., 2002- Nonlinear dynamics of the lithosphere and earthquake prediction, Springer-verlag, Berlin, 166-172.
- Keilis-Borok, V. I., 1996- Intermediate term earthquake prediction. *Proc. Natl. Acad. Sci. U. S. A.* 93, 3748– 3755.
- Keilis-Borok, V. I., Ismail-Zadeh, A. T., Kossobokov, V. & Shebalin, P., 2001- Non-linear Dynamics of the Lithosphere and Intermediate-term Earthquake Prediction. *Tectonophysics* 338, 247-260.
- Keilis-Borok, V. I. & Kossobokov, V. G., 1984- A complex of longterm precursors for the strongest earthquakes of the world. *Proc. 27th Geological Congress* vol. 61. Nauka, Moscow, pp. 56–66.
- Keilis-Borok, V. I. & Kossobokov, V. G., 1987- Periods of high probability of occurrence of the world's strongest earthquakes. *Computational Seismology* vol. 19. Allerton Press, pp. 45– 53.
- Kossobokov, V. G., 1986- The test of algorithm M8. In: Sadovsky, M.A. (Ed.), *Algorithms of Long-Term Earthquake Prediction*. CERESIS, Lima, Peru, pp. 42– 52.
- Kossobokov, V. G., 1997- User manual for M8. In: Healy, J.H., Keilis-Borok, V.I., Lee, W.H.K. (Eds.), *Algorithms for Earthquake Statistics and Prediction*, IASPEI Software Library vol. 6. Seismol. Soc. Am., El Cerrito, CA.
- Kossobokov, V. G., 2011- Are Mega Earthquakes Predictable?. *Izvestiya, Atmospheric and Oceanic Physics*, Vol. 46, No. 8, pp. 951–961.
- Kossobokov, V. G., Romashkova, L. L., Keilis-Borok, V. I. & Healy, J. H., 1999b- Testing earthquake prediction algorithms: statistically significant advance prediction of the largest earthquakes in the Circum-Pacific, 1992–1997. *Phys. Earth Planet. Inter.* 111, 187– 196.
- Kossobokov, V. G., Romashkova, L. L., Panza, G. F. & Peresan, A., 2002- Stabilizing intermediate-term middle-range earthquake predictions. *J. Seismol. Earthq. Eng.* 8, 11– 19.
- McClusky, S., Balassanian, S., Barka, A., Demir, C., Ergintav, S., Georgiev, V., Gurkan, O., Hamburger, M., Hurst, K., Kahle, H., Kastens, K., Kekelidze, G., King, R., Kotzev, V., Lenk, O., Mahmoud, S., Mishin, A., Nadariya, M., Ouzounis, A., Paradissis, D., Peter, Y., Prilepin, M., Reilinger, R., Sanli, I., Seeger, H., Tealeb, A., Toksoz, N. & Veis, G., 2000- Global Positioning System constraints on plate kinematics and dynamics in the eastern Mediterranean and Caucasus, *J. Geophys. Res.*, 105, 5695 – 5719.
- McKenzie, D. P., 1972- Active tectonics of the Mediterranean region, *Geophys. J. R. Astron. Soc.*, 30, 109 – 185.
- Peresan, A., Kossobokov, V., Romashkova, L., Panza, G.F., 2005- Intermediate-term middle-range earthquake predictions in Italy: a review. *Earth-Science Reviews* 69, 97-132.
- Sengor, A. M. C., 1990- A new model for the late Palaeozoic-Mesozoic tectonic evolution of Iran and implications for Oman, in *The Geology and Tectonics of the Oman Region*, edited by A. H. F.
- Sengor, A. M. C. & Kidd, W. S. F., 1979- Post-collisional tectonics of the Turkish-Iranian plateau and a comparison with Tibet, *Tectonophysics*, 55, 361 – 376.
- Shebalin, P. N., 1992- Automatic duplicate identification in set of earthquake catalogues merged together. *Open-File Rep. U.S. Geol. Surv.*, 92– 401 (Appendix II).
- Taymaz, T., Jackson, J. A. & McKenzie, D., 1991- Active tectonics of the north and central Aegean Sea, *Geophys. J. Int.*, 106, 403 – 490.
- USGS, 2011-United States Geological Survey. ([WWW.USGS.com](http://WWW.USGS.com))
- Zare, M., Haghshenas, E. & Bastami, M., 2011- The Van, Turkey Earthquake of 23 October 2011, A Preliminary Report on the Reconnaissance Visit Preformed by IIEES Reconnaissance Team.

## Investigation of M8 Algorithm Prediction Performance in West of Iranian Plateau(23/10/2011, Mw = 7.3)

M. Mojtabab<sup>1\*</sup>, H. Memarian<sup>2</sup>, M. Zare<sup>3</sup> & V. Kossobokov<sup>4</sup>

<sup>1</sup>Ph.D., Faculty of Mining Engineering, University of Tehran, Tehran, Iran

<sup>2</sup>Professor, Faculty of Mining Engineering, University of Tehran, Tehran, Iran

<sup>3</sup>Associate Professor, International Institute of Earthquake Engineering and Seismology, Tehran, Iran

<sup>4</sup>Professor, International Institute of Earthquake Prediction Theory and Mathematical, Geophysics, Moscow, Russia

Received: 2012 January 23

Accepted: 2012 September 09

### Abstract

The earthquake of 23 October 2011, near the Turkish city of Van, had 600 victims and caused great damages in Van, Argis, Moradiyeh and Caldiran. Review of 20<sup>th</sup> century and historical earthquakes in eastern Anatolian plate and west of Iranian plateau confirmed the activity of this area with the notable earthquake of 24 November 1976 in Caldiran. The main objective of this paper is evaluation of predictability of earthquakes in this region. Presently, the two main approaches for predicting extreme events are precursory and pattern recognition algorithms. For this study, we applied M8 algorithm that is based on pattern recognition. In this respect, a 49 point network were designed around the epicenter of Van earthquake and M8 algorithm applied to this network. The end result was four zones with some overlaps that were proposed as CTIP (current time of increase probability). This study could predict the Van earthquake with 1/1/2008 to 30/12/2012 time window, 281 km local radius and magnitude of more than 7. In addition, forward prediction in this area shows there is no alarm for magnitude 7+ in next 5 years. This study showed the strength of M8 algorithm for predicting earthquakes in the Middle East. It can be concluded that using algorithms based on pattern recognition can play an important role for mitigation of damages in seismic events.

**Keywords:** Earthquake Prediction, Eastern Anatolia - Iranian Plateau, Pattern Recognition, M8 Algorithm, Time Of Increase Probability.

For Persian Version see pages 13 to 20

\*Corresponding author: M. Mojtabab; E-mail: mmojtabab@ut.ac.ir